

II-159 淡水注入による河口貯水池の塩水しゃ断

九座大 正員 ○崎山 正員 青柳 戎故

1. まえがき 本報で取り扱う流れの場の解析については、第25回年次講において崎山が発表しているが、数値解を求める過程で擬似領域を導入すると試行錯誤を少なくてできるので追加発表する。前報との重複はさけたので淡塩境界を含む境界条件の設定法、数値解の収束性および電算機のフローチャートなどについては前報¹⁾を参照されたい。

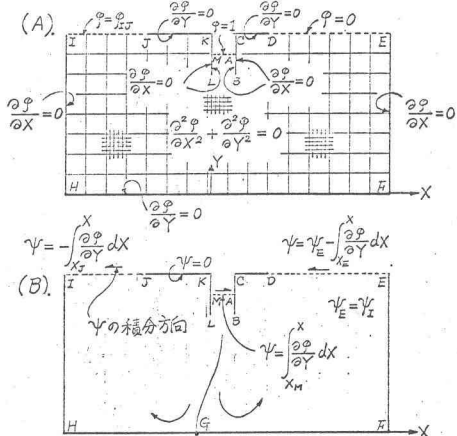


図-3 擬似領域

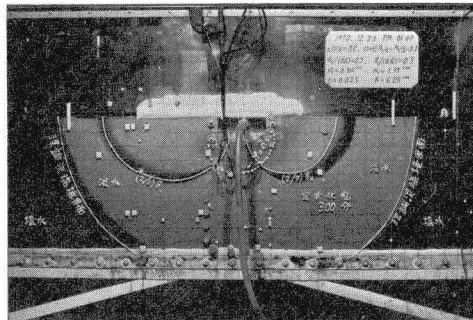


写真-1

2. 擬似領域の導入 水理諸量の無次元式

を次に示す。すなわち、 $\bar{x} = k(\frac{P}{H_f} + Y)$, $\bar{x} = \frac{X}{H_f}$, $\bar{Y} = \frac{Y}{H_f}$, $\phi = \frac{\bar{x} - k(H_f + D)}{H_f}$,

$\psi = \frac{Y}{H_f}$ これらを用いて図-1, 図-5の境界条件を \bar{Y} について整理すると図-2, 図-6がえられる。

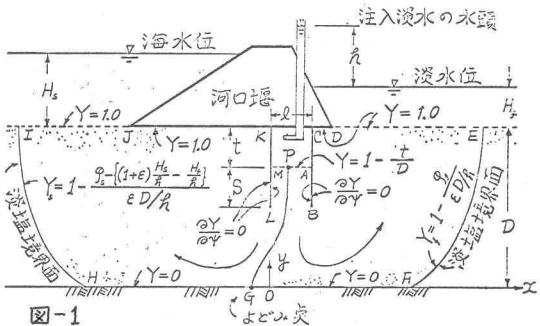


図-1

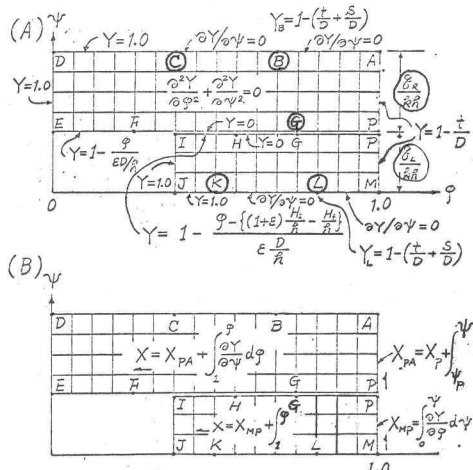


図-2

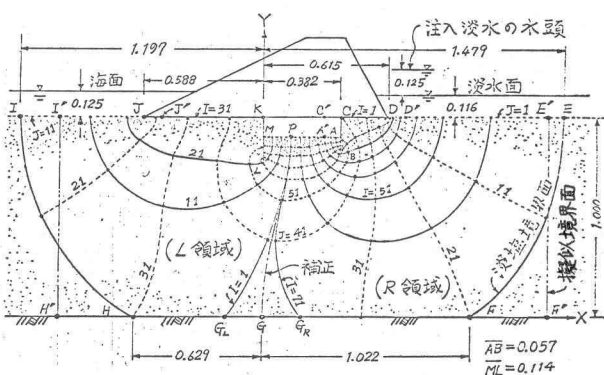


図-4 理論流線網

れるが、 ϕ_B 、 ϕ_C 、 ϕ_D 、 ϕ_K 、 ϕ_L 、 $\theta_{R/(KR)}$ 、 $\theta_{L/(KR)}$ は未知である。このように境界面を規定する特異点の未知量の個数が多いときには、これらを仮定してYについて解き、Xを求める方法では目的を達するとはなかなか困難である。そこで図-3に示す擬似領域を導入する。すなわち淡塩界面を形成させたい位置に固定境界面を想定し、Yについて解き、地下密度流の特性を満足する位置に淡水注入部を設ける。この試行は3~4回ですむようである。このようにして擬似領域を用いて前述の未知量を推定し、これらを図-2に通用してYについて解き、Xを求めれば目的の流れの場がほとんど1回の試行によって決定できる。例解を図-4に、その実験を写真-1に示している。次に図-5の流れについてはO-CおよびABを鉛直線とみなして擬似領域を考える。これについては、すでに解析解をえているので、ここでは所要式のみを示しておこう。すなわち、 $K(\beta)/K(\beta') = 1/D$ 、 $d_4 = 1/\beta^2 \cdot SN^2\{K(\beta) \cdot x_{D1}/D, \beta\}$ 、 $d_3 = 1/\beta^2$ 、 $d_2 = SN^2\{K(\beta) \cdot x_{D1}/D, \beta\}$ 、 $d_1 = SN^2\{K(\beta') \cdot x_{D1}/D, \beta'\}$ 、 $SL^2 = 1 - d_4^2 = \{(d_3 - d_2)(d_4 - d_1)\}/(d_3 + d_1)d_2 d_3$ 、 $SN(\varphi_{WA}, K') = \sqrt{(d_3 - d_1)(1 - d_2)} / \{(d_3 - d_2)(1 - d_1)\}$ 、 $SN(\varphi_{WA}, K'') = \sqrt{(d_1(d_4 - d_2)} / \{d_2(d_4 - d_1)\}$ 、

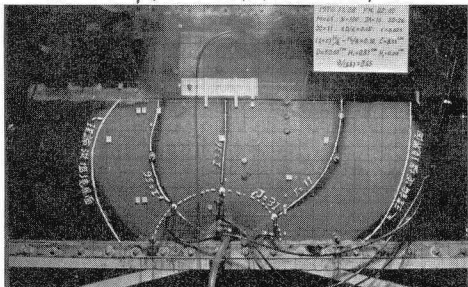


写真-2

$SN(\varphi_{WA}, K') = 1/(d_4 - d_2)/(d_4 - d_1)$ 、 $\varphi = 1 - \varphi_w/K(K')$ 、 $\theta/(KR) = K(X)/K(K')$ これらを用いて地下密度流の特性を満足する位置に注入部を設け、図-6によってYおよびXを求める。例解を図-7に、その実験を写真-2に示している。なお紙面の都合で説明が不十分のところは講演時にのべる。

参考文献 1) 嶋山常三: 海水飽和地盤内部の暗渠からの淡水浸透(第2報), 第25回年次講義 II-141

2) 嶋山常三: 浸透流による噴砂現象(第1報), 土木大工研究, 第6号

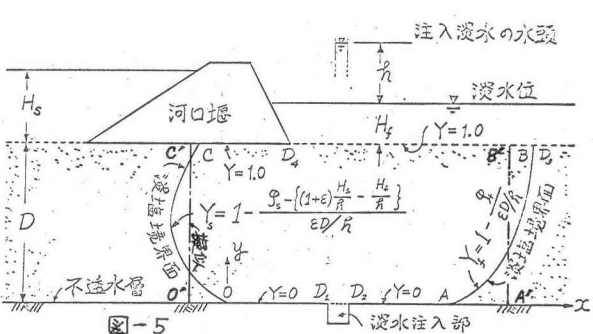


図-5

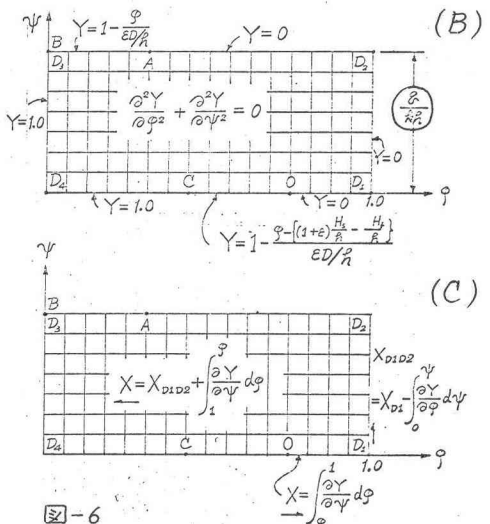


図-6

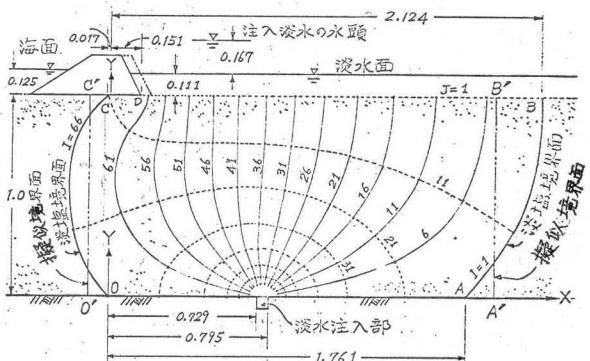


図-7 理論流線網